

# زمان بندی حرکت قطارها در شبکه‌ی مترو با استفاده از روش بهینه‌سازی استوار از طریق شبیه‌سازی

سمیرا مقدم\* (دانشجوی دکتری)

هاشم محلوچی (استاد)

دانشکده‌ی مهندسی صنایع، دانشگاه صنعتی شریف

مهندسی صنایع و مدیریت شریف، زمستان ۱۳۹۶ (۱۳۹۶)  
دوری ۱۳۳-۱، شماره‌ی ۲/۲، ص. ۱۱۷-۱۲۶

در این مقاله یک روش جدید برای حل مسئله‌ی بهینه‌سازی استوار زمان‌بندی قطارها در مترو بر مبنای شبیه‌سازی ارائه شده است. هدف یافتن سرفاصله‌هاست به نحوی که میانگین مدت انتظار مسافران بهینه و نرخ حمل مشخصی تأمین شود. در مدل شبیه‌سازی محدودیت‌های مدت توقف قطارها در ایستگاه‌ها، ظرفیت ایستگاه‌ها، سبقت‌گیری و رعایت فاصله‌ی ایمنی قطارها با توجه به شرایط عمومی شبکه‌های مترو در نظر گرفته شده است. فرض بر این است که پارامترهای نرخ ورود مسافران به ایستگاه‌ها و زمان طی بلاک‌ها توسط قطارها غیرقطعی هستند. برای حل مسئله یک روش جدید بهینه‌سازی شبیه‌سازی استوار به کمک شبه‌مدل کرایگینگ تصادفی و با بهره‌مندی از روش بهینه‌سازی استوار برتسیماس و سیم ارائه شده است. در پایان مطالعه‌ی موردی بر روی خط یک شبکه‌ی متروی تهران انجام و نتایج به دست آمده ارائه شده است.

واژگان کلیدی: خطوط ریلی، زمان بندی، بهینه‌سازی شبیه‌سازی، بهینه‌سازی استوار، شبه‌مدل کرایگینگ تصادفی.

moghaddam\_sm@ie.sharif.edu  
mahlooji@sharif.edu

## ۱. مقدمه

عوامل غیرقطعی متعددی ممکن است در فرایند حرکت قطارها تأثیرگذار باشند و منجر به بروز برخی انحراف‌های کوچک یا بزرگ از برنامه‌ی زمانی تعیین شده شوند. مثلاً، می‌توان ازدحام جمعیت که ناشی از تغییرات احتمالی در تقاضای مسافران است یا تغییر در زمان سفر قطارها را نام برد که از مهم‌ترین عوامل اغتشاش در فرایند ریلی در مترو است. این تغییرات غیرمنتظره ممکن است منجر به ازدحام جمعیت و طولانی شدن مدت توقف قطارها در ایستگاه‌ها شود و در سرفاصله‌های برنامه‌ریزی شده اختلال ایجاد کند. یافتن برنامه‌ی زمانی استوار که قابلیت جذب اغتشاش‌های کوچک را دارا باشد و عملکرد آن تحت شرایط وقوع اغتشاش کاهش نیابد برای برنامه‌ریزی خطوط ریلی یک موضوع با اهمیت شمرده می‌شود. پژوهش‌های انجام شده در این حوزه در سال‌های اخیر گویای اهمیت این موضوع است.

حل مسئله‌ی بهینه‌سازی استوار زمان‌بندی ریلی با استفاده از روش‌های برنامه‌ریزی ریاضی نیازمند در نظر گرفتن فرض‌های ساده‌ساز و نیز تعداد بالای متغیرهای تصمیم و محدودیت‌هاست. چنین مسئله‌ی دارای درجه‌ی پیچیدگی NP-Hard است. بنابراین، ابزار شبیه‌سازی به دلیل انعطاف بالا و نیاز به در نظر گرفتن فرض‌های ساده‌ساز کم، یک راه حل مناسب در این حوزه در نظر گرفته می‌شود. روش‌های بهینه‌سازی شبیه‌سازی شامل روش‌هایی است که در آن هدف، یافتن بهترین ترکیب ورودی برای مدل شبیه‌سازی (بدون ارزیابی تمام حالت‌ها) است، به نحوی که معیار خروجی شبیه‌سازی بهینه شود. روش‌های بهینه‌سازی شبیه‌سازی

استفاده از خطوط ریلی از مهم‌ترین و ارزان‌ترین گزینه‌های حمل و نقل مسافر و بار شمرده می‌شود. استفاده‌ی بهینه و پیشینه از زیرساخت‌های موجود در خطوط ریلی، با توجه به زیاد بودن هزینه‌های لازم برای گسترش خطوط دارای اهمیت بسیار است. بهینه‌سازی مسئله‌ی زمان‌بندی در خطوط ریلی از جمله مهم‌ترین مواردی است که به استفاده‌ی پیشینه از زیرساخت‌های موجود در شبکه کمک می‌کند. زمان‌بندی مشخص می‌کند که هر قطار چه زمانی به هر ایستگاه وارد و چه زمانی از آن خارج شود. در مسائل زمان‌بندی در خطوط ریلی شهری (مترو)، به دلیل فاصله‌ی کم بین ورود قطارها به ایستگاه‌ها، تعیین سرفاصله‌ها که همان بازه‌ی زمانی بین ورود دو قطار متوالی به یک ایستگاه است به عنوان متغیر تصمیم در نظر گرفته می‌شود. در تهیه‌ی این زمان‌بندی معمولاً هدف پیشینه‌کردن استفاده از خطوط ریلی و قطارهای موجود است به نحوی که محدودیت‌های ناشی از نوع ریل‌ها (تک ریل یا خطوط چندگانه)، سرعت حرکت قطارها، محدودیت زمان توقف در ایستگاه‌ها، محدودیت‌های مربوط به سرفاصله‌ها، محدودیت تعداد خطوط در هر ایستگاه و محدودیت‌های ایمنی و ملاحظات مربوط به آن تأمین شود. در سال‌های اخیر مدت زمان انتظار مسافران به عنوان یک معیار عملکرد مهم برای ارزیابی در بهینه‌کردن عملکرد شبکه‌های ریلی مطرح شده است.

\* نویسنده مسئول

تاریخ دریافت: ۱۳۹۴/۸/۹، اصلاحیه ۱۳۹۴/۱۲/۱۶، پذیرش ۱۳۹۵/۲/۲۲.

در حالت کلی به دو گروه روش‌های مدل‌محور و شبه‌مدل‌محور تقسیم می‌شوند.<sup>[۱]</sup> در روش‌های مدل‌محور اجزای بهینه‌سازی و شبیه‌سازی با یکدیگر در تعامل اند و خروجی یکی ورودی برای دیگری است. در این رویکرد با استفاده از یک استراتژی جست‌وجو، جزء بهینه‌ساز جواب‌های مورد نیاز برای ارزیابی را تعیین و جزء شبیه‌ساز اقدام به ارزیابی آنها می‌کند. در یک روش شبه‌مدل‌محور جزء سوم به نام شبه‌مدل وجود دارد. یک شبه‌مدل رابطه‌ی بین ورودی‌ها و خروجی‌های یک مدل شبیه‌سازی را شناسایی و در قالب یک تابع قطعی صریح تخمین می‌زند. برای مدل‌های شبیه‌سازی گران قیمت شبه‌مدل‌ها مانند روش سطح پاسخ، کرایگینگ، اسپلاین و شبکه‌های عصبی مصنوعی ابزاری برای کاهش هزینه‌های محاسباتی هستند.<sup>[۲]</sup>

پژوهش‌های فراوانی در پیشینه برای حل مسئله‌ی زمان‌بندی ریلی با استفاده از ابزار شبیه‌سازی انجام شده است. به‌طور مثال با استفاده از شبیه‌سازی حرکت قطارها در خطوط ریلی شهری به بررسی و تحلیل عملکرد سیستم طراحی شده با در نظر گرفتن عوامل عدم قطعیت در عملیات پرداخته شده است.<sup>[۳]</sup> همچنین یک مطالعه‌ی موردی برای نمایش عملکرد مدل ارائه‌شده در آزمون استراتژی‌های کنترل زمان حقیقی<sup>۲</sup> صورت گرفته است. لی و همکاران<sup>[۴]</sup> یک مدل شبیه‌سازی برای یک ایستگاه قطار شامل فرایندها، تجهیزات و صف‌های مسافران ارائه داده‌اند که به مطالعه‌ی مجموع زمان سفر می‌پردازد. هدف کمیته‌کردن مجموع مدت سفر و افزایش کیفیت خدمات است. روشی برای محاسبه‌ی برنامه زمان‌بندی بهینه‌ی قطارها در خطوط مترو با استفاده از فرمول‌بندی کنترل پیش‌بین<sup>۳</sup> و استفاده از مدل برنامه‌ریزی خطی ارائه شده است.<sup>[۵]</sup> مدل ترافیک قطاری با تقاضای متغیر در زمان مسافران، معادله‌ی پویا را تشکیل می‌دهد که سرفاصله‌ی قطارها را تعیین می‌کند. یک مدل شبیه‌سازی گسسته پیشامد از یک شبکه‌ی مترو ارائه شده است.<sup>[۶]</sup> که در آن هزینه‌های عملیاتی و اجتماعی در قالب زمان انتظار مسافران بررسی شده است. نویسندگان یک رویکرد بهینه‌سازی شبیه‌سازی شبه‌مدل‌محور با استفاده از بسته‌ی شبیه‌سازی گسسته پیشامد ARENA و روش سطح پاسخ (RSM)<sup>۴</sup> برای بهینه‌سازی میانگین زمان سفر مسافران در یک متروی شهری ارائه دادند.<sup>[۷]</sup> در این روش از یک شبه‌مدل برای یافتن رابطه‌ی بین میانگین زمان سفر به‌عنوان متغیر پاسخ و سرفاصله به‌عنوان متغیر کنترل استفاده شده است. یک شبیه‌ساز شی‌عگرا برای سیستم‌های شبکه‌ی مترو با هدف ارزیابی استراتژی کنترل زمان حقیقی ارائه شده است.<sup>[۸]</sup> پارامترهای ورودی شامل نرخ ورود مسافران، ماتریس تقاضای مبدأ - مقصد، اندازه‌ی ناوگان، زمان سفر قطارها، ظرفیت قطارها و پارامترهای ازدحام است. متغیرهای تصمیم شامل سرعت قطار، مدت توقف و زمان حرکت از پایانه‌ها می‌شود. یک الگوریتم برای حل مسئله‌ی تخصیص تعادل<sup>۵</sup> در یک شبکه‌ی ریلی پر ازدحام ارائه شده است.<sup>[۹]</sup> در این روش فرض شده است که ماتریس مبدأ - مقصد متغیر در زمان برای تقاضا در دست است و تمام مسافران دارای اطلاعات کامل از شرایط شبکه هستند و مسیری را انتخاب می‌کنند که تابع هزینه برای چهار عنصر مدت سفر، مدت انتظار، مدت راه رفتن و هزینه تغییر خط را کمیته کند. مسئله‌ی تخصیص تعادل به‌وسیله‌ی روش میانگین‌های متوالی<sup>۶</sup> حل شده است. محققان به مقایسه‌ی نتایج به‌دست آمده از روش‌های فراوانی<sup>۷</sup> با استفاده از استراتژی بهینگی و روش‌های برنامه - مینا در حوزه‌ی سیستم‌های ریلی شهری با استفاده از رویکردهای شبیه‌سازی پرداخته‌اند.<sup>[۱۰]</sup> برخی پژوهشگران یک مدل شبیه‌سازی برای بررسی حمل بار با استفاده از خطوط متروی شهری توسعه و نشان داده‌اند که استفاده از خطوط ریلی شهری برای حمل بار یک گزینه‌ی با صرفه در بازار تجارت کنونی است.<sup>[۱۱]</sup> برای مطالعه‌ی بیشتر در این حوزه می‌توان به منابع موجود رجوع کرد.<sup>[۱۲-۱۴]</sup>

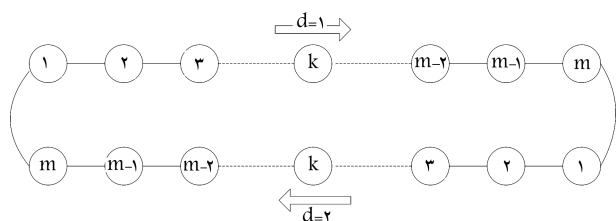
بر اساس بررسی‌های انجام‌شده تنها یک مطالعه به بررسی برنامه‌ریزی استوار مرتبط با خطوط ریلی با ابزار بهینه‌سازی شبیه‌سازی پرداخته است<sup>[۱۵]</sup> که در آن از یک روش بهینه‌سازی شبیه‌سازی مدل‌محور دو مرحله‌ی بر مبنای الگوریتم ژنتیک استفاده شده است و هدف بهینه‌سازی سرفاصله‌ها از طریق به‌کارگیری ابزار شبیه‌سازی بوده است. در منبع نام‌برده از روش کمیته‌ی وار یانس برای یافتن جواب استوار استفاده شده که تنها برای مسائل نامقید قابل به‌کارگیری است. به نظر می‌رسد تاکنون پژوهشی در زمینه‌ی به‌کارگیری روش‌های بهینه‌سازی شبیه‌سازی شبه‌مدل‌محور بر پایه‌ی روش‌های کمیته‌بیشینه (minimax) برای مسئله‌ی بهینه‌سازی استوار زمان‌بندی خطوط ریلی انجام نشده است. موضوع انگیزه‌ی این پژوهش برای تحلیل مسئله‌ی بهینه‌سازی استوار زمان‌بندی در یک خط مترو با ابزارهای بهینه‌سازی شبیه‌سازی شبه‌مدل‌محور است. یکی از مزایای اصلی استفاده از شبه‌مدل‌ها کاهش تعداد شبیه‌سازی مورد نیاز است. افزون بر آن، شبه‌مدل‌ها دیدی نسبت به ساختار و ویژگی‌های تابع هدف به دست می‌دهند که امکان تحلیل حساسیت بر روی پارامترهای مدل را به آسانی و بدون اجرای مجدد مدل‌های شبیه‌سازی پرهزینه مقدر می‌سازند.<sup>[۷]</sup>

همان‌طور که گفته شد یافتن برنامه‌ی زمانی استوار برای برنامه‌ریزی خطوط ریلی یک موضوع با اهمیت شمرده می‌شود. به‌همین دلیل، هدف در این مقاله ارائه‌ی روشی برای یافتن یک جدول زمانی استوار است که در آن عملکرد سیستم متروی شهری تحت اغتشاش‌های احتمالی دچار تغییرات عمده نشود. اغتشاش‌ها اشاره به تغییرات تصادفی در تقاضا، زمان سفر، و در نتیجه افزایش مدت انتظار ناشی از ازدحام مسافران دارد. در پیشینه معمولاً اغتشاش‌های بزرگ منجر به مدل‌های برنامه‌ریزی مجدد و اصول مدیریت اغتشاش می‌شود که موضوع بحث این مقاله نیست. در اینجا تمرکز بر ایجاد یک جدول زمانی استوار با ابزار بهینه‌سازی شبیه‌سازی است که امکان جذب اغتشاش‌های کوچک را دارا باشد. در واقع نوآوری اصلی مقاله‌ی پیش رو ارائه‌ی روش جدیدی بر مبنای شبه‌مدل کرایگینگ تصادفی برای حل استوار مسئله‌ی زمان‌بندی خطوط مترو با در نظر گرفتن جریان مسافران در مدل شبیه‌سازی است. ساختار این مقاله به شرح زیر است:

بخش ۲ به بیان مسئله و مدل شبیه‌سازی می‌پردازد. در بخش ۳ روش بهینه‌سازی استوار ارائه‌شده تشریح می‌شود. بخش ۴ مطالعه‌ی موردی مربوط به متروی تهران و نتایج آن را ارائه می‌دهد. بخش ۵ حاوی نتیجه‌گیری و پیشنهادهایی برای مطالعات آتی است.

## ۲. شرح مسئله و مدل شبیه‌سازی

یک شبکه‌ی ریلی در مترو معمولاً از چندین حلقه‌ی ریلی تک‌مسیره تشکیل می‌شود که در شکل ۱ نشان داده شده است. خطوط ریلی معمولاً به بخش‌هایی تقسیم می‌شوند که به آنها بلاک می‌گویند. به‌منظور رعایت فاصله‌ی ایمنی هیچ دو قطاری نباید به صورت هم‌زمان از یک بلاک استفاده کنند. در شبکه‌های مترو معمولاً فاصله‌ی



شکل ۱. یک حلقه‌ی ریلی تک‌مسیره از شبکه‌ی ریلی.

زمان بندی قطارها شود در زمان طی بلاکها تأثیرگذار است. همانگونه که پیشتر توضیح داده شد اغتشاشهای بزرگ منجر به مدل های برنامه ریزی مجدد و اصول مدیریت اغتشاش می شود که موضوع بحث این مقاله نیست.

## ۱.۲. نمادهای مربوط به اندیس ها و پارامترهای مسئله

$k$ : اندیس مربوط به شماره ایستگاهها؛

$h$ : اندیس مربوط به شماره قطارها؛

$t$ : اندیس مربوط به شماره بازه زمانی؛

$d$ : اندیس مربوط به جهت حرکت ( $d = 1, 2$ )؛

$m$ : تعداد ایستگاهها؛

$n$ : تعداد قطارها؛

$T$ : تعداد بازه های زمان بندی؛

$V_{ave}$ : سرعت متوسط حرکت قطارها؛

$V_{max}$ : سرعت بیشینه حرکت قطارها؛

$dis_k$ : فاصله ی بین ایستگاه  $k$  و  $k + 1$ ؛

$C^{max}$ : بیشینه ی ظرفیت قطار؛

$d w_{min}$ : کمینه ی مدت توقف قطارها در ایستگاهها؛

$rec_{min}$ : کمینه ی مدت استراحت قطارها در ایستگاهها؛

$CD$ : مدت تأخیر ناشی از ازدحام (ثانه)؛

$\eta_{kd}$ : نرخ ورود مسافران به ایستگاه  $k$  در جهت  $d$  و بازه زمانی  $t$ ؛

$\varphi_{kd}$ : نرخ پیاده شدن مسافران در ایستگاه  $k$  در جهت  $d$  در بازه زمانی  $t$ ؛

$TP$ : تعداد کل مسافران در یک روز؛

$TT$ : تعداد کل سفرها در یک روز.

## ۲.۲. نمادهای مربوط به متغیرهای مسئله

$Q_{kd}(t)$ : تعداد مسافران منتظر در ایستگاه  $k$  در جهت  $d$  در بازه زمانی  $t$ ؛

$b_h(t)$ : تعداد مسافران سوار بر قطار  $h$  در بازه زمانی  $t$ ؛

$dep_{kd}(t)$ : زمان شروع لامین حرکت از ایستگاه  $k$  در جهت  $d$  در بازه زمانی  $t$ ؛

$R_k(t)$ : مدت پیمودن بلاک بین ایستگاه  $k$  و  $k + 1$  در بازه زمانی  $t$ ؛

$d w_{ikd}$ : مدت توقف لامین حرکت از ایستگاه  $k$  در جهت  $d$ ؛

$H_{ld}$ : سرفاصله ی بین  $l$  و  $l + 1$  لامین حرکت در جهت  $d$ ؛

$p_{ikd}$ : تعداد مسافران در لامین حرکت از ایستگاه  $k$  در جهت  $d$ ؛

$P_{ikd}$ : تعداد مسافران وارد شده به ایستگاه  $k$  در جهت  $d$  در بازه زمانی بین حرکت

$l$  و  $l - 1$ ؛

$b_{ikd}$ : تعداد مسافران سوار بر قطار در لامین حرکت در ایستگاه  $k$  در جهت  $d$ ؛

$FR$ : نرخ حمل.

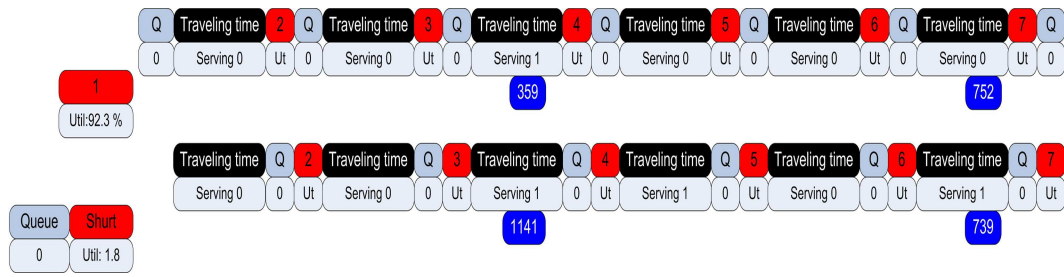
مدل شبیه سازی در نرم افزار (ED)<sup>۸</sup> ایجاد شده است که یک نرم افزار شیءگرا برای شبیه سازی گسسته ی پیشامد است. این نرم افزار به دلیل موتور قدرتمند خود و دارا بودن ابزارهای مناسب برای شبیه سازی خطوط ریلی انتخاب شده است. مدل توسعه داده شده متشکل از شیءهایی است شامل: منابع ریلی که نظیر سرورها عمل می کنند، صف ها که مسافران در آنها قرار می گیرند و شیءهای متحرک که در حلقه ی ریلی حرکت می کنند. مدل شبیه سازی شامل دو فرایند کلی ایجاد جریان مسافران و کنترل گردش قطارهاست که روابط بین مسافران/قطارها را مدیریت می کنند. برای مدیریت فرایند حرکت گردش قطارها، پایانه ها قطارها را با توجه به حداقل سرفاصله ها

بین هر دو ایستگاه یک بلاک در نظر گرفته می شود. یک شبکه ی مترو دارای چندین پایانه است. پایانه ها (که معمولاً ابتدا و انتهای خطوط قرار دارند) ظرفیت پذیرش چندین قطار را به صورت هم زمان دارند. به جز پایانه ها، هر ایستگاه می تواند در هر جهت تنها یک قطار را به صورت هم زمان بپذیرد. در پایانه ها قطارها منتظر می مانند تا بر اساس سرفاصله های تعیین شده حرکت کنند. در ایستگاه های میانی مسافران منتظر قطارها می مانند و جدول زمانی دقیقی وجود ندارد تنها زمان های توقف از پیش تعیین شده وجود دارد. در خطوط مترو امکان سبقت گیری وجود ندارد. حرکت قطارها در مترو به وسیله ی یک مرکز کنترل عملیات هماهنگ می شود. گردش قطارها به وسیله ی حداقل سرفاصله و زمان استراحت در هر پایانه کنترل می شود. یک زمان استراحت، حداقل زمان لازم برای هر قطار در پایانه برای بازگشت در مسیر مخالف است. قطاری که به یک پایانه می رسد تمام مسافران را پیاده می کند و پس از استراحت آماده ی اعزام در مسیر مخالف می شود. سیاست اولین ورود - اولین خروج برای اعزام در پایانه ها استفاده می شود.

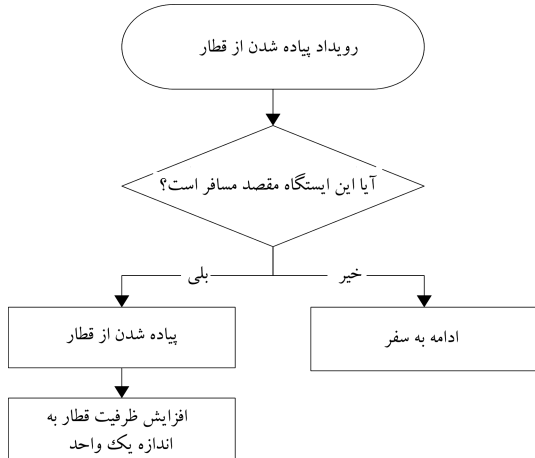
عملیات خط مترو به وسیله ی اجرای زمان اعزام، مدت طی بلاک، مدت توقف در ایستگاه، مدت استراحت در پایانه، فرایند ورود مسافران به ایستگاه ها و فرایند سوار شدن و پیاده شدن مسافران تشریح می شود. قطارها سفر خود را مطابق با سرفاصله های برنامه ریزی شده آغاز می کنند. فرایند حرکت با رویداد اعزام از مبدأ آغاز می شود و با رویداد رسیدن به مقصد پایان می یابد. قطار رسیده به ایستگاه فرایند سوار کردن و پیاده کردن مسافران را حداقل به اندازه ی مدت توقف انجام می دهد. ازدحام مسافران در یک ایستگاه ممکن است مدت توقف قطار را افزایش دهد. بنابراین، ممکن است مدت توقف برای قطارهای ایستگاه های بعد در نتیجه ی ازدحام یا محدودیت ظرفیت قطار افزایش یابد. مدت توقف هر قطار در ایستگاه ها باید از یک حد پایین مشخص بیشتر و از یک حد بالای معین کمتر باشد. تعداد قطارهای تخصیص داده شده به هر ایستگاه در هر لحظه نباید بیشتر از تعداد ظرفیت آن ایستگاه باشد.

در سیستم های متروی شهری تقاضای مسافران معمولاً به صورت عمده بین ساعات اوج و غیر اوج تغییر می کند. بنابراین، تعداد سرویس های قطار در طول ساعات غیر اوج کاهش پیدا می کند و طی ساعات اوج مجدداً افزایش می یابد. تقاضای مربوط به سیستم های ریلی شهری به صورت وابسته به زمان یا پویا با توزیع های احتمالی در نظر گرفته می شود. در اینجا فرض شده است که تقاضا دارای توزیع پواسون با نرخ وابسته به زمان است. فرض شده است که بازه ی زمان بندی به تعدادی بازه ی زمانی با طول مشخص تقسیم شده است. بنابراین،  $t$  نشان دهنده ی دوره و  $T$  نشان دهنده ی مجموع تعداد دوره هاست. مسافران در ابتدای اولین دوره ی مراجعه به سکو را آغاز می کنند ( $t = 0$ ) و تا ابتدای آخرین دوره می توانند به ایستگاه ها وارد شوند ( $t = T$ ).

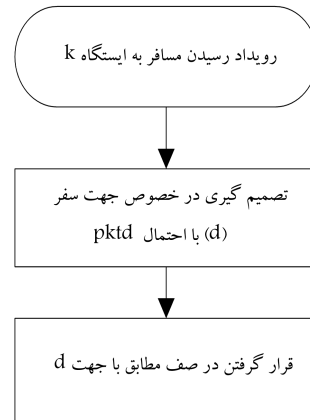
کاهش سرفاصله ها منجر به کاهش زمان سفر مسافران از یک سو و کاهش نرخ حمل قطارها از سوی دیگر می شود که اولی تأثیر مثبت و دومی تأثیر منفی در نظر گرفته می شود. یافتن سرفاصله ی بهینه برای کمینه کردن مدت انتظار و رسیدن به نرخ حمل از پیش تعیین شده برای روزهای کاری هفته (شنبه تا چهارشنبه) مسئله یی است که باید حل شود. متغیر تصمیم، تعیین سرفاصله در بازه های زمان بندی مختلف با نرخ متفاوت ورود مسافران است. متغیرهای تصادفی برای مدل شبیه سازی عبارتند از مدت طی یک بلاک توسط یک قطار و تعداد مسافران که به یک ایستگاه در یک بازه ی زمانی مشخص می رسند. این دو متغیر تصادفی عامل عدم قطعیت در مدل شبیه سازی اند. تابع توزیع خرابی قطارها در مدل شبیه سازی لحاظ نشده و فرض شده است خرابی قطارها یا هرگونه رویدادی که منجر به تأخیرهای کوچک در



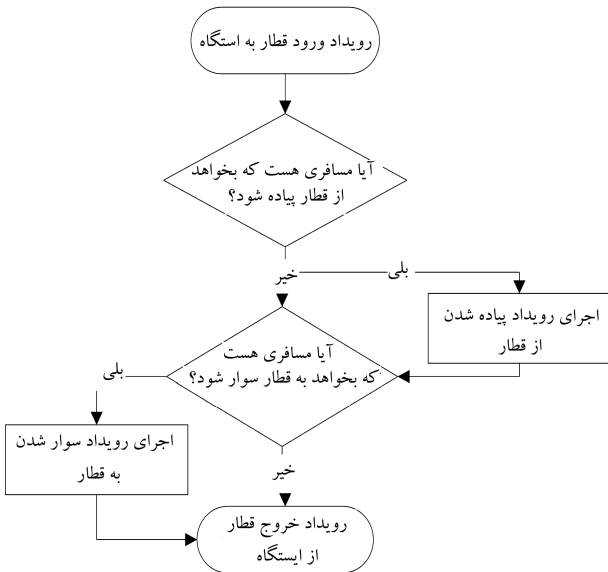
شکل ۲. نمایی از مدل شبیه‌سازی شده در نرم‌افزار.



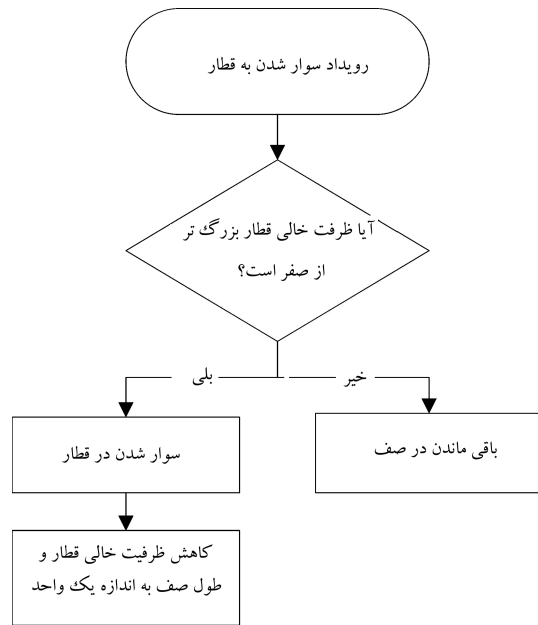
شکل ۵. فلوچارت پیشامد پیاده‌شدن از قطار.



شکل ۳. فلوچارت پیشامد رسیدن مسافران به ایستگاه.



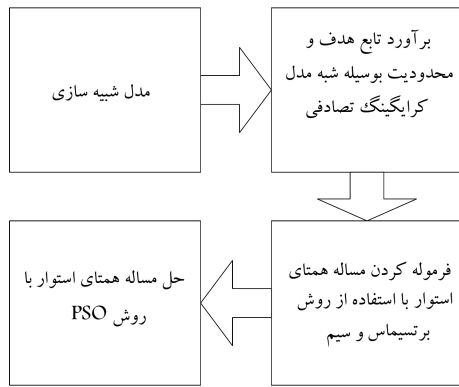
شکل ۶. فلوچارت پیشامد ورود قطار به ایستگاه.



شکل ۴. فلوچارت پیشامد سوارشدن مسافران به قطار.

پیشامدهای مربوط به مسافران شامل زمان‌های رسیدن به ایستگاه‌ها و سوار و پیاده‌شدن به/از قطارها و پیشامدهای مربوط به قطارها شامل ورود قطارها به ایستگاه‌ها و خروج آنها از ایستگاه‌هاست. فلوچارت پیشامدهای مربوط به رسیدن و سوارشدن مسافران در شکل‌های ۳ و ۴ و فلوچارت پیشامد پیاده‌شدن مسافران در شکل ۵ نشان داده شده است. همچنین پیشامدهای ورود و خروج قطار به/از ایستگاه در شکل‌های ۶ و ۷ نشان داده شده است. هر زمان که یک مسافر

و زمان حرکت قبلی نگه می‌دارند. شکل ۲ نمایی از مدل شبیه‌سازی شده در نرم‌افزار را نمایش می‌دهد. ویژگی‌ها<sup>۹</sup> و متغیرها برای مدیریت محدودیت‌ها و منطقی‌ها تعریف شده‌اند. یکی از مهم‌ترین ویژگی‌ها، تعداد مسافران در هر قطار  $b_k(t)$  است. متغیرهای مربوط به ایستگاه شامل تعداد مسافران منتظر در زمان  $t$  بر سکوها برای سوارشدن به قطار  $Q_{kd}(t)$  است. متغیرها و ویژگی‌ها با رویداد هر پیشامد به روز می‌شوند.



شکل ۸. اجزاء روش ارائه شده.

کرایگینگ تصادفی، نوشتن مدل همتای استوار به کمک روش برتسیماس و سیم، و حل مسئله‌ی همتای استوار به کمک فراابتکاری PSO تشریح می‌شود.

### ۱.۳. برآورد تابع هدف و محدودیت به وسیله‌ی شبه‌مدل کرایگینگ تصادفی

کرایگینگ پیش‌بینی مقادیر نامعلوم از توابع تصادفی را به‌عنوان ترکیب خطی موزون مقادیر در دست ارائه می‌دهد. کرایگینگ نخستین بار توسط مهندس معدن کرایگ [۱۴] ارائه شد. کرایگینگ انواع مختلفی دارد. کرایگینگ معمولی پایه‌ی‌ترین حالت است که مدلی به شکل رابطه‌ی زیر را فرض می‌کند:

$$Y(x) = f(x)^T \beta + M(x) \text{ with } M(x) \sim NID(0, \sigma^2(x)) \quad (2)$$

$M$  یک عنصر تصادفی با میانگین صفر است که فرض می‌شود دارای همبستگی فضایی است. بدین معنا که مقادیر  $M(x)$  و  $M(x')$  به یکدیگر شبیه خواهند بود اگر  $x$  و  $x'$  نزدیک یکدیگر باشند. در کرایگینگ معمولی فرض می‌شود که مقادیر میانگین  $E(Y(x))$  ثابت هستند، بنابراین  $f(x)^T \beta$  با  $\beta$  جایگزین می‌شود. مقدار پیش‌بینی برای نقطه‌ی  $x_0$  که با  $\hat{Y}(x_0)$  نشان داده می‌شود، یک ترکیب موزون خطی از تمام داده‌های خروجی به شکل زیر است:

$$\hat{Y}(x_0) = \sum_{i=1}^N \lambda_i w_i \text{ with } \sum_{i=1}^N \lambda_i = 1 \quad (3)$$

که در آن  $w_i$ ها مقادیر تابع هدف (خروجی شبیه‌سازی در نقطه‌ی  $x_i$ ) و  $\lambda_i$  توابعی از بردار متغیرهای تصمیم،  $x_0$ ، هستند. مقادیر بهینه‌ی وزن‌ها با کمینه‌کردن میانگین مربع خطای پیش‌بینی به شکل زیر به دست می‌آید:

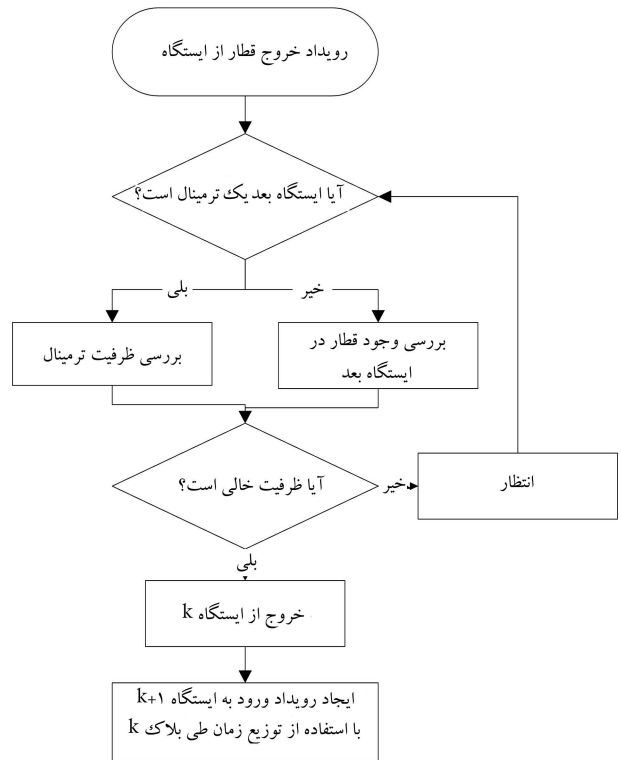
$$\hat{\lambda} = (\gamma + 1 \frac{1 - \sqrt{1 - \gamma^T \Sigma_M \gamma}}{\sqrt{1 - \gamma^T \Sigma_M \gamma}})^T \Sigma_M^{-1} \quad (4)$$

که در آن  $\gamma$  بردار  $1 \times N$  به شکل

$$(\text{Cov}[M(x_0), M(x_1)], \dots, \text{Cov}[M(x_0), M(x_N)])$$

و  $\Sigma_M$  ماتریس کواریانس  $N \times N$  برای تمام نقاط  $x_1, x_2, \dots, x_N$  و  $1$  بردار  $1$  درایه‌های  $1$  است.

کرایگینگ معمولاً برای مدل‌های شبیه‌سازی قطعی به‌کار گرفته می‌شود. اخیراً کرایگینگ تصادفی برای توسعه‌ی شبه‌مدل کرایگینگ برای مسائل شبیه‌سازی غیرقطعی



شکل ۷. فلوچارت پیشامد خروج قطار از ایستگاه.

جدید به یک سکو می‌رسد، در یک صف برای سوارشدن به قطار می‌ایستد و مسافران مطابق با قانون اولین ورود - اولین خروج (FIFO) سوار قطار می‌شوند. در صورتی که ظرفیت باقی‌مانده قطار  $(C^{\max} - b_h(t))$  برابر صفر نباشد مسافر سوار قطار شده و در غیر این صورت منتظر می‌شود تا قطار بعدی بیاید. در این زمان تعداد مسافران قطار افزایش و به صورت هم‌زمان طول صف کاهش می‌یابد.

برای محاسبه‌ی نرخ حمل از فرمول ارائه‌شده [۷] به شرح زیر استفاده شده است:

$$FR = \frac{TP}{TT * C^{\max}} \quad (1)$$

### ۳. فرمول‌بندی مسئله‌ی همتای استوار و حل مسئله

در اینجا هدف یافتن یک جواب minimax است. یعنی مقادیری از متغیرهای تصمیم که بیشینه‌ی تابع هدف را برای تمام مقادیر پارامترهای تصادفی در حدود مشخص کمینه کند. برای حل یک روش بهینه‌سازی شبیه‌سازی استوار شبه‌مدل محور ارائه شده است. روش ارائه‌شده دارای چهار جزء مطابق شکل ۸ است. جزء اول مدل شبیه‌سازی است که برای ارزیابی جواب‌ها مورد استفاده قرار می‌گیرد. جزء دوم با استفاده از شبه‌مدل کرایگینگ تصادفی اقدام به برآورد شکل بسته تابع هدف و محدودیت مربوط به نرخ حمل قطارها می‌کند. جزء سوم با استفاده از روش بهینه‌سازی استوار برتسیماس و سیم، مسئله‌ی همتای استوار را فرمول‌بندی می‌کند. در جزء چهارم مدل برنامه‌ریزی ریاضی به دست آمده توسط الگوریتم فراابتکاری PSO حل می‌شود.

در ادامه هر یک از سه مرحله برآورد تابع هدف و محدودیت به وسیله شبه‌مدل

توسعه داده شده است.<sup>[۱۷]</sup> در کرایگینگ تصادفی از مدل زیر برای نمایش خروجی زامین تکرار از یک شبیه‌سازی تصادفی در نقطه‌ی طرح  $x$  استفاده می‌شود:

$$Y_j(x) = f(x)^T \beta + M(x) + \varepsilon_j(x), \quad j = 1, 2, \dots, r \quad (5)$$

که در آن  $r$  تعداد تکرار شبیه‌سازی در یک نقطه‌ی آزمایش  $x$  است. نویزهای ذاتی  $\varepsilon_1(x), \varepsilon_2(x), \dots, \varepsilon_r(x)$  در  $x$  مستقل و دارای تابع توزیع یکسان هستند. فرض می‌شود  $0 < Corr[\varepsilon(x), \varepsilon(x')] >$  و  $\Sigma_\varepsilon = f(x)^T \beta = \beta$  ماتریس کواریانس  $N \times N$  است که در آن عنصر  $(g, i)$  برابر است با

$$Cov\left[\sum_{j=1}^r \frac{\varepsilon_j(x_g)}{r}, \sum_{j=1}^r \frac{\varepsilon_j(x_i)}{r}\right]$$

برای تمام نقاط آزمایش  $x_i$  و  $x_g$ . برآوردگر بهینه‌ی MSE به شرح زیر است:

$$\hat{\lambda} = (\gamma + \frac{1}{\frac{1}{\lambda^T(\Sigma_M + \Sigma_\varepsilon)\lambda}})^T (\Sigma_M + \Sigma_\varepsilon)^{-1} \quad (6)$$

که در آن  $\hat{\Sigma}_\varepsilon = Diag\{\hat{V}(x_1)/r, \dots, \hat{V}(x_N)/r\}$  یک ماتریس است که عناصر قطر اصلی آن  $\hat{V}(x_i)/r$  و سایر عناصر صفرند. برای هر یک از مقادیر  $i = 1, 2, \dots, N$  برآورد واریانس  $w_i$  به شکل زیر است:<sup>[۱۷]</sup>

$$\hat{V}(x_i) = \frac{1}{r-1} \sum_{j=1}^r (w_{ij} - \bar{w}_i)^2, \quad i = 1, 2, \dots, N \quad (7)$$

برای برآورد تابع هدف (میانگین مدت انتظار) و محدودیت (نرخ حمل)،  $N$  نقطه از فضای جواب به‌وسیله‌ی یک طرح آزمایش یکنواخت نظیر LHS نمونه‌گیری و سپس مدل شبیه‌سازی را برای نقاط نمونه‌گیری شده‌ی  $r$  مرتبه اجرا می‌کنیم و نتایج را با  $w_{ij}$  برای  $i = 1, 2, \dots, N$  و  $j = 1, 2, \dots, r$  نشان می‌دهیم. میانگین و واریانس پاسخ برای نقاط شبیه‌سازی شده به‌صورت زیر محاسبه می‌شود:

$$\bar{w}_i = \frac{1}{r} \sum_{j=1}^r w_{ij}, \quad i = 1, 2, \dots, N \quad (8)$$

$$\hat{s}_i^2 = \frac{1}{r-1} \sum_{j=1}^r (w_{ij} - \bar{w}_i)^2, \quad i = 1, 2, \dots, N \quad (9)$$

شبه‌مدل کرایگینگ تصادفی برای میانگین مقادیر پاسخ برازش و اعتبار سنجی می‌شود. مدل نهایی به‌صورت رابطه‌ی ۳ است.

### ۲.۳. فرمول‌بندی مسئله‌ی همتای استوار

رابطه‌ی ۳ را به‌صورت زیر بازنویسی می‌کنیم:

$$Y(x_0) = \sum_{i=1}^N w_i \lambda_i(x_0) \quad (10)$$

که در آن  $w_i$ ها (که از این پس با  $\bar{w}_i$  نمایش داده می‌شوند) پارامترهای غیرقطعی از مقادیر تابع هدف و  $\lambda_i$ ها توابعی معلوم و قطعی از  $x_0$  (بردار متغیرهای تصمیم) هستند. بنابراین، تابع هدف و محدودیت به‌دست‌آمده نسبت به پارامترهای غیرقطعی  $\bar{w}_i$  خطی هستند و می‌توان روش برتسیماس و سیم را برای به‌دست‌آوردن مسئله‌ی همتای استوار به‌کار گرفت.

از آنجا که مقادیر غیر قطعی با احتمال بالا در فاصله‌ی  $\pm 3\sigma$  (انحراف استاندارد است) از میانگین قرار دارند، می‌توان مجموعه‌ی عدم قطعیت را برای پارامترهای تابع هدف  $\bar{w}_i$  به‌صورت زیر به‌دست آورد:

$$U_i = [\bar{w}_i - 3\hat{s}(\bar{w}_i), \bar{w}_i + 3\hat{s}(\bar{w}_i)], \quad i = 1, 2, \dots, N \quad (11)$$

که در آن  $\hat{s}(\bar{w}_i)$  از رابطه‌ی زیر به‌دست می‌آید:

$$\hat{s}^2(\bar{w}_i) = \frac{1}{r-1} \sum_{j=1}^r (w_{ij} - \bar{w}_i)^2, \quad i = 1, 2, \dots, N \quad (12)$$

مقادیر  $\lambda_i(x_0)$  در رابطه‌ی ۱۰، به‌صورت رابطه‌ی ۶ است. مقادیر  $\Sigma_M$  و  $\Sigma_\varepsilon$  با استفاده از داده‌های ورودی/خروجی شبیه‌سازی محاسبه می‌شوند؛ بنابراین مقادیر معلوم و قطعی هستند، پس تنها  $\gamma$  تابعی از  $x_0$  است. پس، ساختار تابع هدف بستگی به ساختار  $\gamma$  دارد که به شکل زیر است:

$$\gamma = \tau^T R_M(\theta, x_0) \quad (13)$$

که در آن  $R_M(\theta, x_0)$  تابع همبستگی و  $\tau^T$  واریانس نقاط شبیه‌سازی شده است. توابع همبستگی متداول در کرایگینگ توابع مثلثی، گوسی و نمایی هستند. با در نظر گرفتن  $l$  و  $u$  به‌عنوان حدود پایین و بالای متغیرهای تصمیم، مدل برنامه‌ریزی ریاضی اسمی به شکل زیر خواهد بود:

$$\begin{aligned} \min C, \\ \text{s.t. } \sum_{i=1}^N \bar{w}_{ie} \lambda_{ie}(x_0) \leq C_{ie}, \quad e = 0, 1 \\ l \leq x_0 \leq u \end{aligned} \quad (14)$$

اندیس  $e$  برای نمایش رابطه‌های تابع هدف ( $e = 0$ ) و محدودیت ( $e = 1$ ) استفاده می‌شود و  $C_1 = FR$  است. مطابق با روش برتسیماس و سیم، همتای استوار مدل ۱۴ به‌صورت زیر است:

$$\begin{aligned} \min C, \\ \text{s.t. } \sum_{i=1}^N \bar{w}_{ie} \lambda_{ie}(x_0) + \max_{S \subseteq J, |S|=\Gamma, t \in J \setminus S} \{ \sum_{i \in S} \bar{w}_{ie} y_{ie} + (\Gamma_e - |\Gamma_e|) \bar{w}_{te} y_{ie} \} \leq C_e, \quad e = 0, 1 \\ -y_{ie} \leq \lambda_{ie}(x_0) \leq y_{ie}, \quad i = 1, 2, \dots, N, \quad e = 0, 1, \quad l \leq x_0 \leq u \\ y_{ie} \geq 0, \quad i = 1, 2, \dots, N, \quad e = 0, 1 \end{aligned} \quad (15)$$

که در آن  $\bar{w}_i$  بیشترین مقدار مجاز تغییر برای  $\bar{w}_i$  (برابر با  $3\hat{s}_i(\bar{w}_i)$ ) و  $J$  مجموعه ضرایب غیرقطعی تابع هدف است. یک پارامتر  $\Gamma$ ، نه لزوماً عدد صحیح، معرفی می‌شود که مقادیری در بازه‌ی  $[0, |J|]$  می‌گیرد. نقش این پارامتر تنظیم استواری روش در مقابل سطح محافظه‌کاری جواب است. با در نظر گرفتن سطح محافظه‌کاری  $\Gamma = (\Gamma_0, \Gamma_1)$ ، دوگان بخش دوم از محدودیت اول در رابطه‌ی ۱۵ برابر با مسئله‌ی بهینه‌سازی زیر است:

$$\begin{aligned} \min C, \\ \text{s.t. } \sum_{i=1}^N p_{ie} + \Gamma_e z_e \leq C_e, \quad e = 0, 1 \\ z_e + p_{ie} \geq \bar{w}_{ie} |\lambda_{ie}(x_0)|, \quad i = 1, 2, \dots, N, \quad e = 0, 1 \\ p_{ie} \geq 0, \quad i = 1, 2, \dots, N, \quad e = 0, 1 \\ z_e \geq 0, \quad e = 0, 1 \end{aligned} \quad (16)$$

بر اساس تئوری دوگان، جواب بهینه‌ی مسئله‌ی دوگان برابر با جواب بهینه‌ی مسئله‌ی اصلی است. با در نظر گرفتن  $y_{ie} = |\lambda_{ie}(x_0)|$  مدل نهایی به‌صورت زیر خواهد بود:

- به روزرسانی موقعیت: هر ذره موقعیت خود را در فضای جواب مطابق با رابطه‌ی زیر اصلاح می‌کند:

$$x_i(I) = x_i(I-1) + v_i(I) \quad (20)$$

- به روزرسانی بهترین ذرات یافته شده: هر ذره (به صورت بالقوه) موقعیت بهترین جواب محلی و سراسری را به روز می‌کند:

$$\begin{aligned} \text{If } f(x_i) < pbest_i, \text{ then } pbest_i &= x_i \\ \text{If } f(x_i) < gbest, \text{ then } gbest &= x_i \end{aligned} \quad (21)$$

بنابراین، در هر تکرار هر ذره موقعیت خودش را بر اساس تجربه‌ی خود و ذرات دیگر به روز می‌کند. [۲۱، ۲۰]

#### ۴. مطالعه‌ی موردی

مطالعه موردی در نظر گرفته شده، خط ۱ متروی شهر تهران است. خط ۱ دارای ۲۸٫۱ کیلومتر طول که بین شمال (تجریش) و جنوب تهران (کهریزک) امتداد دارد. این خط دارای ۲۹ ایستگاه و بیش از ۳۵۰ سرویس قطار در طول روز است. تمام ایستگاه‌ها دارای دو سکو هستند. سکو بخشی از یک ریل است که قطارها می‌توانند در آنجا توقف و نسبت به سوار/پیاده کردن مسافران اقدام کنند. اولین سفر در ساعت ۵:۰۰ صبح آغاز و آخرین سفر در ساعت ۲۳:۰۰ آغاز و تا ساعت ۲۴:۰۰ ادامه می‌یابد تا تمام مسافران به مقصدشان برسند. در مسئله‌ی مورد بررسی ظرفیت هر ایستگاه میانی برابر یک است و ظرفیت پابانه‌ها یک عدد بزرگ فرض شده است. از آنجا که امکان نمونه‌گیری دستی از نرخ ورود مسافران و نیز زمان طی بلاک‌ها در خطوط مترو میسر نیست، برای تعیین تابع توزیع پارامترهای غیر قطعی از آمار ارائه شده توسط شرکت بهره‌برداری متروی تهران استفاده شده است. بر اساس اطلاعات دریافتی از این شرکت در خصوص زمان‌های ورود/خروج قطارها به/از ایستگاه‌ها برای ۲۰۰ سفر (هر سفر معادل یک نمونه برای زمان طی هر بلاک است)، تابع توزیع نرمال برای زمان طی بلاک‌ها در سطح اطمینان  $\alpha = 0.9$  برآورد شده است. در خصوص ورود مسافران به ایستگاه‌ها، اطلاعات ارائه شده در قالب میانگین تعداد مسافران وارد شده به ایستگاه‌ها در بازه‌های زمانی مختلف است و اطلاعات ارائه شده به گونه‌ی نیست که امکان برآورد تابع توزیع فراهم باشد. بر اساس نظر کارشناسان مترو، تابع توزیع پواسون با نرخ وابسته به زمان برای ورود مسافران به ایستگاه‌ها در نظر گرفته می‌شود. برای محاسبه‌ی نرخ تابع پواسون، از داده‌های شرکت بهره‌برداری مترو درباره‌ی میانگین تعداد مسافران وارد شده به ایستگاه‌ها در روزهای کاری در بازه‌های زمانی مختلف، استفاده شده است. فرض‌ها:

- تمام مسافران باید به مقصدهایشان برسند.
  - بازه‌های زمانی در یک روز به پنج بازه مطابق با جدول ۱ تقسیم شده است.
  - بازه‌های برنامه‌ریزی به بازه‌های زمانی کوچک یک ثانیه تقسیم می‌شوند.
  - سرعت قطارها در طول یک سفر بین دو ایستگاه متوالی ثابت است.
- قطارها در هر ایستگاه، حداقل ۳۰ ثانیه توقف می‌کنند. بیشینه‌ی سرعت عملیاتی قطارها برابر ۸۰ کیلومتر در ساعت است که به دلیل کاهش سرعت برای توقف در ایستگاه‌ها به ۵۰ کیلومتر در ساعت تعدیل می‌شود. بازه‌ی در نظر گرفته شده برای سرفاصله‌ها بین ۴ تا ۱۵ دقیقه است. مدل شبیه‌سازی در نرم‌افزار ED توسعه می‌شود.

$$\begin{aligned} \min C, \\ \text{s.t. } \sum_{i=1}^N \bar{w}_{ie}(\lambda_{ie}(x_0)) + \sum_{i=1}^N p_{ie} + \Gamma_e z_e \leq C_e, \quad e = 0, 1 \\ z_e + p_{ie} \geq \bar{w}_{ie} y_{ie}, \quad i = 1, 2, \dots, N, \quad e = 0, 1 \\ -y_{ie} \leq \lambda_{ie}(x_0) \leq y_{ie}, \quad i = 1, 2, \dots, N \\ p_{ie} \geq 0, \quad i = 1, 2, \dots, N, \quad e = 0, 1 \\ y_{ie} \geq 0, \quad i = 1, 2, \dots, N, \quad e = 0, 1 \\ z_e \geq 0, \quad e = 0, 1 \\ l \leq x_0 \leq u \end{aligned} \quad (17)$$

ساختار مسئله‌ی به دست آمده بستگی به نوع تابع همبستگی به کار گرفته شده برای شبه‌مدل کرایگینگ دارد. برای تابع همبستگی مثلثی مدل بالا خطی و برای توابع همبستگی گوسی و نمایی غیرخطی خواهد بود. از آنجا که در مطالعه‌ی موردی از تابع همبستگی گوسی (به دلیل عملکرد بهتر و متداول بودن) برای شبه‌مدل‌های کرایگینگ تصادفی استفاده شده، ساختار مسئله‌ی برنامه‌ریزی ریاضی به دست آمده غیرخطی است. همچنین در پژوهش‌های پیشین عنوان شده است که پیچیدگی محاسباتی مدل برنامه‌ریزی ریاضی به دست آمده از کرایگینگ  $O(n^2)$  است که در آن  $n$  تعداد نقاط نمونه‌گیری شده از فضای جواب است. [۱۸] بنا بر این، برای حل مسئله‌ی استوار به دست آمده فرآینت‌های به کار گرفته می‌شوند. بدین منظور از فرآینت‌های PSO به دلیل سادگی، دقت بالا، همگرایی سریع و وابستگی به تعداد کم پارامتر [۱۹] استفاده شده است. در ادامه شرح مختصری درباره‌ی الگوریتم فرآینت‌های PSO ارائه می‌شود.

#### ۳.۳. حل مسئله‌ی همتای استوار با استفاده از PSO

در PSO هر ذره (جواب کاندید) دارای بردار موقعیت و سرعت است. هر ذره موقعیت خود  $x_i$  را در راستای بهینه‌ی سراسری مطابق با دو فاکتور تنظیم می‌کند: بهترین موقعیت خودش ( $pbest_i$ ) و بهترین موقعیت کل ذرات ( $gbest$ ). در هر تکرار  $I$ ، هر ذره عملیات زیر را به کار می‌گیرد:

- به روزرسانی سرعت: سرعت که تعریف‌کننده‌ی میزان تغییر اعمال شده برای هر ذره است به صورت زیر تعریف می‌شود:

$$v_i(I) = \chi \times (v_i(I-1) + c_1 \times (pbest_i - x_i(I-1)) + c_2 \times (gbest - x_i(I-1))) \quad (18)$$

که در آن  $\chi$  نشان‌دهنده‌ی ضریب انقباض  $1^0$  است و به صورت زیر تعریف می‌شود:

$$\chi = \frac{K}{\text{abs}(\frac{1-\frac{c}{\chi}}{\chi} - \sqrt{\text{abs}(c^2 - 2c)})} \quad (19)$$

که در آن  $K \in [0, 1]$  (معمولاً مقدار ۱ استفاده می‌شود) و  $c = c_1 + c_2$ . مقدار  $c_1$  و  $c_2$  نشان‌دهنده‌ی شدت حرکت به سوی بهینه‌ی محلی و سراسری است. اغلب از عدد ۲ برای هر دوی  $c_1$  و  $c_2$  استفاده می‌شود ( $c$  باید مقداری بزرگ‌تر از ۴ داشته باشد، به عنوان مثال هر یک از  $c_i$ ‌ها حدوداً برابر ۲٫۰۵ انتخاب می‌شود).

جدول ۱. بازه‌های زمانی در نظر گرفته شده.

بازه‌ی زمانی	بازه‌ی معتبر
۵:۰۰ - ۷:۰۰	$4 \leq x_1 \leq 20$
۷:۰۰ - ۱۰:۰۰	$4 \leq x_2 \leq 15$
۱۰:۰۰ - ۱۶:۰۰	$4 \leq x_3 \leq 15$
۱۶:۰۰ - ۲۰:۰۰	$4 \leq x_4 \leq 15$
۲۰:۰۰ - ۲۳:۰۰	$4 \leq x_5 \leq 20$

داده شده است و برای تأیید<sup>۱۱</sup> آن مدل به صورت ماژولار توسعه داده شده است و با استفاده از جای‌گذاری مقادیر ثابت برای متغیرهای تصادفی و چک کردن دستی نتایج، ارزیابی‌ها انجام شده است.

برای اعتبارسنجی مدل شبیه‌سازی، روش آزمون فرض آماری با استفاده از آماره‌ی آزمون  $t$  به کار گرفته شده است. به دلیل آنکه داده‌های واقعی درباره‌ی متغیر خروجی شبیه‌سازی (میانگین زمان انتظار مسافران) برای اعتبارسنجی مدل شبیه‌سازی در دست نبوده است، از «میانگین زمان تأخیر قطارها در یک سفر» به عنوان خروجی شبیه‌سازی برای آزمون فرض استفاده شده است. فرض صفر، برابری خروجی (میانگین زمان تأخیر قطارها در یک سفر) به دست آمده از مدل شبیه‌سازی با مقادیر واقعی (دریافتی از شرکت بهره‌برداری مترو تهران) است. برای این منظور خروجی شبیه‌سازی برای تعداد ۱۰ اجرای مستقل شبیه‌سازی برای سرفاصله‌های مورد استفاده در مترو به دست آمده و این مقادیر با داده‌های واقعی مقایسه و در سطح اطمینان  $\alpha = 0.1$  فرض صفر پذیرفته شده است.

برای برازش دو شبه‌مدل کرایگینگ تصادفی برای میانگین مدت سفر مسافران و نرخ حمل قطار، به تعداد ۷۰ نقطه از فضای جواب با استفاده از روش LHS نمونه‌گیری شده است. به دلیل اینکه شبه‌مدل کرایگینگ برون‌باب خوبی نیست، نقاط گوشه‌یی فضای جواب (شامل ابتدا و انتهای بازه‌ی معتبر برای متغیرهای تصمیم) در مجموعه‌ی نقاط شبیه‌سازی در نظر گرفته شده است. مدل شبیه‌سازی ۱۰ بار در هر نقطه دوباره‌سازی و میانگین و انحراف استاندارد متغیرهای پاسخ برای هر نقطه از فضای جواب محاسبه شده است. اعتبار شبه‌مدل برازش شده با استفاده از روش اعتبارسنجی متقاطع بررسی شده است و در سطح اطمینان  $\alpha = 0.1$  پذیرفته شده است. از تابع همبستگی گوسی برای شبه‌مدل‌های کرایگینگ استفاده شده است. روش ارائه شده در نرم‌افزار MATLAB ۸/۷ کد شده است و از فایل SK matlab.m از <http://stochastickriging.net/> برای برازش شبه‌مدل‌ها استفاده شده است. برای یافتن جواب بهینه‌ی استوار با در نظر گرفتن سطح محافظه‌کاری  $\Gamma$ ، مدل برنامه‌ریزی هم‌تای استوار به دست آمده است. برای محاسبه‌ی جواب بهینه‌ی استوار از PSO استفاده شده است. اندازه‌ی ذرات در PSO برابر ۱۵ در نظر گرفته شده است.

پارامترهای PSO شامل اندازه‌ی ذرات  $s$  (S) و ضرایب سرعت<sup>۱۲</sup> (نشان‌دهنده‌ی شدت حرکت به سوی بهینه‌ی محلی  $c_1$  و سراسری  $c_2$ ) هستند. در پژوهش‌های پیشین نشان داده شده است که PSO برای مقادیر تقریباً برابر با ۲ برای هر دوی  $c_1$  و  $c_2$  بهترین عملکرد را نشان می‌دهد  $c = c_1 + c_2$  باید مقداری بزرگ‌تر از ۴ داشته باشد، به عنوان مثال هر یک از  $c_1$  و  $c_2$  حدوداً برابر ۲/۰۵ انتخاب می‌شود.<sup>[۲۰]</sup> در مسئله‌ی زمان‌بندی خطوط مترو نیز از مقدار ۲/۰۵ برای پارامترهای  $c_1$  و  $c_2$  استفاده شده است. برای اندازه‌ی ذرات در پیشینه مقدار مشخصی توصیه نشده است و عموماً اندازه‌ی ذرات وابسته به مسئله است و به صورت سعی و خطا تعیین می‌شود. در پژوهش‌های پیشین فقط ذکر شده است که با افزایش بعد مسئله، تعداد

ذرات هم باید افزایش یابد. همچنین ذکر شده است که تعداد کم ذرات خطر افتادن در بهینه‌ی محلی را افزایش می‌دهد و تعداد زیاد اندازه‌ی ذرات سرعت الگوریتم را کاهش می‌دهد.<sup>[۱۹]</sup> با توجه به بعد مسئله‌ی زمان‌بندی خطوط مترو که برابر ۱۰ است و بررسی‌های انجام شده به نظر می‌رسد الگوریتم برای اندازه‌ی ذرات برابر با ۱۵ عملکرد مناسبی (از نظر سرعت الگوریتم و خطر افتادن در دام بهینه محلی) دارد. مقادیر به کار گرفته شده برای پارامترها در جدول ۲ و نتایج مربوط به جواب بهینه و متغیرهای پاسخ (میانگین مدت انتظار مسافران و نرخ حمل قطارها) در جدول ۳ نشان داده شده است.  $H_I$  مربوط به سرفاصله‌ها در جهت حرکت شمال (تجربیش) به جنوب (که‌ریزک) و  $H_O$  مربوط به سرفاصله‌ها در جهت حرکت جنوب (که‌ریزک) به شمال (تجربیش) است.  $\Gamma_0$  سطح محافظه‌کاری تابع هدف و  $\Gamma_1$  سطح محافظه‌کاری محدودیت نرخ حمل است.  $Y_1$  مربوط به متغیر پاسخ اول، میانگین زمان انتظار مسافران با واحد ثانیه و  $Y_2$  مربوط به متغیر پاسخ دوم، میانگین نرخ حمل قطارها به درصد است. ردیف اول که برای سطح محافظه‌کاری  $(0, 0)$  به دست آمده، بیان‌گر جواب اسمی مسئله است. ردیف‌های بعدی مقادیر بهینه‌ی سرفاصله‌ها و مقادیر میانگین زمان انتظار مسافران و نرخ حمل برای سطوح محافظه‌کاری مختلف را نمایش می‌دهد. همان‌گونه که مشاهده می‌شود با افزایش سطح محافظه‌کاری مقادیر سرفاصله‌های بهینه و نیز میانگین مدت انتظار و نرخ حمل افزایش می‌یابد. در حالی که نرخ تغییرات در مقادیر مدت انتظار مسافران و نرخ حمل با افزایش سطح محافظه‌کاری کاهش می‌یابد و جواب‌ها در مقابل تغییرات احتمالی استوارتر است.

برای مقایسه با روش‌های دیگر دو گروه روش را باید مد نظر داشت: یکی روش‌های بر پایه‌ی مدل‌سازی ریاضی و دیگری روش‌های بر پایه‌ی شبیه‌سازی. در دسته‌ی اول پژوهشی درباره‌ی زمان‌بندی استوار قطارها در مترو با در نظر گرفتن نرخ ورود مسافران وابسته به زمان و لحاظ کردن رابطه‌ی آن با نرخ حمل قطار در پیشینه یافت نشده است که امکان مقایسه فراهم باشد. درباره‌ی روش‌ها بر پایه‌ی شبیه‌سازی، تنها پژوهشی که به زمان‌بندی استوار قطارها در مترو پرداخته از روش بهینه‌سازی شبیه‌سازی مدل محور استفاده کرده است.<sup>[۱۵]</sup> از آنجاکه در منبع نام‌برده از روش کمیته‌ی واریانس برای یافتن جواب استوار استفاده شده و این روش تنها برای مسائل نامعقد قابل به‌کارگیری است امکان لحاظ کردن محدودیت نرخ حمل در آن میسر نیست. همچنین منطق به‌کار رفته برای یافتن جواب استوار در این منبع منطق کمیته‌ی واریانس است که با منطق minimax استفاده شده در پژوهش پیش رو تفاوت دارد. اضافه کردن این موارد به اختلاف در روش‌های بهینه‌سازی شبیه‌سازی به‌کار گرفته شده (روش مدل محور در مقابل روش شبه‌مدل محور) با توجه به مزایا و معایب هر یک، امکان مقایسه‌ی واقعی و معنادار بین دو روش را از بین می‌برد. در مجموع مزایای روش ارائه شده نسبت به روش‌های موجود در پیشینه را به شرح زیر می‌توان نام برد:

- روش ارائه شده از منطق minimax برای ارائه‌ی زمان‌بندی استوار استفاده می‌کند که نسبت به روش‌هایی که از منطق کمیته‌ی واریانس استفاده می‌کنند به مفاهیم بهینه‌سازی استوار نزدیک‌تر است.
- روش ارائه شده قابل به‌کارگیری برای مسائل معقد است و امکان لحاظ کردن استواری در شدنی بودن مسئله را در کنار استواری در بهینگی میسر می‌سازد که یک مزیت مهم شمرده می‌شود.
- روش ارائه شده به دلیل انعطاف بالای ابزار شبیه‌سازی برای مدل کردن مسئله، نیاز به در نظر گرفتن فرض‌های ساده‌ساز کم‌تری دارد و از این نظر نسبت به روش‌های برنامه‌ریزی ریاضی دارای مزیت است.



جدول ۲. مقادیر پارامترهای استفاده شده در مطالعه‌ی موردی.

$C^{\max}$	$FR$	$rec_{\min}$	$dw_{\min}$	$T$	$v_{\max}$	$v_{ave}$	$n$	$m$	پارامتر
۲۳۰۰	٪۵۰	۹۰ s	۳۰ s	۵	۸۰ km/h	۵۰ km/h	۲۰	۲۹	مقدار

جدول ۳. نتایج مربوط به مقادیر بهینه‌ی استوار برای متغیرهای تصمیم و متغیرهای پاسخ برای سطوح محافظه‌کاری مختلف.

بیشینه‌ی متغیرهای پاسخ	کمینه‌ی متغیرهای پاسخ	انحراف استاندارد متغیرهای پاسخ	میانگین متغیرهای پاسخ $Y_1(s), Y_2(\%)$	سطح محافظه‌کاری $\Gamma = (\Gamma_0, \Gamma_1)$	سرفاصله‌ی بهینه (ثانیه) $H_I(s), H_O(s)$
$Y_1 = 249$ $Y_2 = 77$	$Y_1 = 224$ $Y_2 = 70$	$Y_1 = 10,2$ $Y_2 = 6$	$Y_1 = 235$ $Y_2 = 72$	$\Gamma = (0, 0)$	$H_I = (700, 240, 300, 240, 557)$ $H_O = (600, 240, 300, 240, 600)$
$Y_1 = 258$ $Y_2 = 83$	$Y_1 = 230$ $Y_2 = 73$	$Y_1 = 9,6$ $Y_2 = 8$	$Y_1 = 260$ $Y_2 = 76$	$\Gamma = (10, 10)$	$H_I = (740, 259, 300, 240, 660)$ $H_O = (620, 240, 340, 256, 735)$
$Y_1 = 264$ $Y_2 = 88$	$Y_1 = 249$ $Y_2 = 79$	$Y_1 = 10,7$ $Y_2 = 7$	$Y_1 = 278$ $Y_2 = 82$	$\Gamma = (20, 20)$	$H_I = (780, 273, 352, 258, 703)$ $H_O = (648, 252, 409, 279, 821)$
$Y_1 = 277$ $Y_2 = 90$	$Y_1 = 251$ $Y_2 = 81$	$Y_1 = 11,5$ $Y_2 = 8$	$Y_1 = 290$ $Y_2 = 86$	$\Gamma = (30, 30)$	$H_I = (790, 291, 368, 277, 816)$ $H_O = (663, 260, 489, 310, 960)$
$Y_1 = 278$ $Y_2 = 90$	$Y_1 = 271$ $Y_2 = 90$	$Y_1 = 8,4$ $Y_2 = 5$	$Y_1 = 301$ $Y_2 = 92$	$\Gamma = (40, 40)$	$H_I = (800, 320, 433, 305, 960)$ $H_O = (720, 277, 497, 344, 997)$

محدودیت‌های ایمنی و ملاحظات مربوط به آن در نرم‌افزار ED شبیه‌سازی شده است. با استفاده از روش LHS تعدادی نقطه از فضای جواب نمونه‌گیری شده و برای برآورد رابطه‌ی بین ورودی (سرفاصله‌ها) و خروجی مدل شبیه‌سازی (میانگین مدت انتظار مسافران و میانگین نرخ حمل قطارها) دو شبه‌مدل کرایگینگ تصادفی یکی برای تابع هدف و دیگری برای محدودیت برازش شده است. همچنین از روش بهینه‌سازی استوار برتسیماس‌وسیم برای فرمول‌بندی مسئله‌ی همتای استوار برای توابع به دست آمده از کرایگینگ استفاده شده است. مدل همتای استوار به‌دست‌آمده با استفاده از PSO حل شده است. برای مطالعه‌ی موردی خط ۱ متروی تهران شبیه‌سازی شد و جواب‌های بهینه‌ی استوار برای روزهای کاری (شنبه تا چهارشنبه) در پنج بازه‌ی زمانی با نرخ‌های متفاوت تقاضا برای مسافران به دست آمده است.

برای مطالعات آتی توسعه‌ی روش ارائه‌شده به‌منظور حل مسئله‌ی زمان‌بندی در کل شبکه و در نظر گرفتن ارتباطات و همبستگی بین خطوط پیشنهاد می‌شود. همچنین به‌کارگیری سایر شبه‌مدل‌ها نظیر شبه‌مدل رگرسیونی و شبکه عصبی مصنوعی و مقایسه‌ی نتایج با نتایج به‌دست‌آمده از شبه‌مدل کرایگینگ پیشنهاد می‌شود.

این روش نسبت به روش‌های بهینه‌سازی شبیه‌سازی مدل محور دارای مزیت تعداد اجرای کمتر مدل شبیه‌سازی و ارائه‌ی دید نسبت به ساختار تابع هدف است.

## ۵. نتیجه‌گیری

عموماً عدم قطعیت ذاتی در تقاضای مسافران ریلی در پژوهش‌های پیشین در نظر گرفته نشده است. این موضوع ممکن است منجر به ازدحام مسافران و بروز اغتشاش‌های تصادفی و در نتیجه ایجاد تأخیر در برنامه‌ی زمان‌بندی شود. در این مطالعه به بررسی سیستم ریلی شهری با در نظر گرفتن عدم قطعیت در تقاضا و مدت طی بلاک‌ها پرداخته شده است. برای تعیین برنامه‌ی زمان‌بندی استوار که قابلیت جذب اغتشاش‌های کوچک را دارا باشد از ابزار بهینه‌سازی شبیه‌سازی استفاده شده است. مدل مترو با در نظر گرفتن محدودیت‌های ناشی از نوع ریل‌ها (تک ریل یا خطوط چندگانه)، سرعت حرکت قطارها، محدودیت زمان توقف در ایستگاه‌ها، محدودیت‌های مربوط به سرفاصله‌ها، محدودیت تعداد خطوط در هر ایستگاه، و

## پانویس‌ها

1. headway
2. real-time

3. predictive control
4. response surface methodology
5. equilibrium assignment
6. successive averages
7. frequency

8. enterprise dynamics
9. attributes
10. constriction coefficient
11. verify
12. swarm size
13. acceleration coefficients

### منابع (References)

1. mohammadnezhad, A. and Mahlooji, H. "An artificial neural network meta-model for constrained simulation optimization", *Journal of the Operational Research Society*, **65**, pp. 1232-1244 (2013).
2. Simpson, T.W., Poplinski, J., Koch, P.N. and Allen, J.K. "Metamodels for computer-based engineering design: survey and recommendations", *Engineering with Computers*, **17**, pp. 129-150 (2001).
3. Koutsopoulos, H. and Wang, Z. "Simulation of urban rail operations: Application framework", *Transportation Research Record: Journal of the Transportation Research Board*, **2006**(1), pp. 84-91 (2015).
4. Li, J.P. "Train station passenger flow study", in *Simulation Conference, Proceedings, IEEE*, pp. 1173-1176 (Winter 2000).
5. Assis, W.O. and Milani, B.I.E. "Generation of optimal schedules for metro lines using model predictive control", *Automatica*, **40**, pp. 1397-1404 (2004).
6. Vázquez-Abad, F.J. and Zubieta, L. "Ghost simulation model for the optimization of an urban subway system", *Discrete Event Dynamic Systems*, **15**, pp. 207-235 (2005).
7. Yalçınkaya, Ö. and Bayhan, G.M. "Modelling and optimization of average travel time for a metro line by simulation and response surface methodology", *European Journal of Operational Research*, **196**, pp. 225-233 (2009).
8. Grube, P., Núñez, F. and Cipriano, A. "An event-driven simulator for multi-line metro systems and its application to Santiago de Chile metropolitan rail network", *Simulation Modelling Practice and Theory*, **19**, pp. 393-405 (2011).
9. Poon, M., Wong, S. and Tong, C. "A dynamic schedule-based model for congested transit networks", *Transportation Research Part B: Methodological*, **38**, pp. 343-368 (2004).
10. Vitetta, A., Cartisano, A. and Comi, A. "Application for comparing frequency and schedule-based approaches in the simulation of a low frequency transit system", *Schedule-Based Dynamic Transit Modeling: Theory and Applications*, Springer, pp. 217-239, (2004).
11. Motraghi, A. and Marinov, M.V. "Analysis of urban freight by rail using event based simulation", *Simulation Modelling Practice and Theory*, **25**, pp. 73-89 (2012).
12. Paolucci, M. and Pesenti, R. "An object-oriented approach to discrete-event simulation applied to underground railway systems", *Simulation*, **72**, pp. 372-383 (1999).
13. Suhl, L., Mellouli, T., Biederbick, C and Goecke, J. "Managing and preventing delays in railway traffic by simulation and optimization", *Mathematical Methods on Optimization in Transportation Systems*, Springer, pp. 3-16 (2001).
14. Jia, W., Mao, B., Liu, H., Chen, S. and Ding, Y. "Service robustness analysis of trains by a simulation method", in: *Proceedings of the Sixth International Conference on Traffic and Transportation Studies, ASCE, USA.*, pp. 752-762 (2008).
15. Hassannayebi, E., Sajedinejad, A. and Mardani, S. "Urban rail transit planning using a two-stage simulation-based optimization approach", *Simulation Modelling Practice and Theory*, **49**, pp. 151-166 (2014).
16. Cressie, N.A. and Cassie, N.A., *Statistics for Spatial Data*, Wiley New York (1993).
17. Ankenman, B., Nelson, B.L. and Staum, J. "Stochastic kriging for simulation metamodeling", *Operations Research*, **58**, pp. 371-382 (2010).
18. Memarsadeghi, N., Raykar, V.C., Duraiswami, R. and Mount, D.M. "Efficient kriging via fast matrix-vector products", in: *Aerospace Conference*, pp. 1-7. (2008).
19. Rezaee Jordehi, A. and Jasni, J. "Parameter selection in particle swarm optimisation: A survey", *Journal of Experimental & Theoretical Artificial Intelligence*, **25**, pp. 527-542 (2013).
20. Talbi, E.-G., *Metaheuristics: From Design to Implementation*, John Wiley & Sons (2009).
21. Kennedy, J. "Particle swarm optimization", in: *Encyclopedia of Machine Learning*, pp. 760-766 (2010)